

บทที่ 3

ทฤษฎี

ในบทนี้กล่าวถึงรายละเอียดและกระบวนการรู้พื้นฐานที่ใช้เป็นแนวทางในการทำวิทยานิพนธ์ ซึ่งแบ่งเป็นหัวข้อย่อยดังนี้

วิธีการคำนวณค่าการถ่ายเทความร้อนผ่านผนังกัน ตามวิธีของ DOE 2.1E [39] และ Douglas [40]

วิธีการคำนวณค่า Solar-air temperature ตามวิธีของ ASHRAE [1]

วิธีการคำนวณค่าภาระการทำความเย็น (cooling load) ตามวิธีของ Mitalas [10]

วิธีการคำนวณค่าสัมประสิทธิ์ Cooling Load Temperature Difference

3.1 การคำนวณค่าการถ่ายเทความร้อนผ่านผนังกัน

การคำนวณค่าการถ่ายเทความร้อนผ่านจากผนังด้านนอกเข้าสู่ผนังด้านในของอาคารสามารถทำได้โดยใช้สมการการถ่ายเทความร้อนใน 1 มิติที่แปรเปลี่ยนตามเวลา ตามที่ได้แสดงไว้ในสมการที่ 3.1

$$\frac{\partial^2 T}{\partial x^2} = \frac{1}{\alpha} \cdot \frac{\partial T}{\partial t} \quad (3.1)$$

เมื่อ T = อุณหภูมิ, °F

x = ระยะทางตามแนวแกน x , ft

t = เวลา, hr

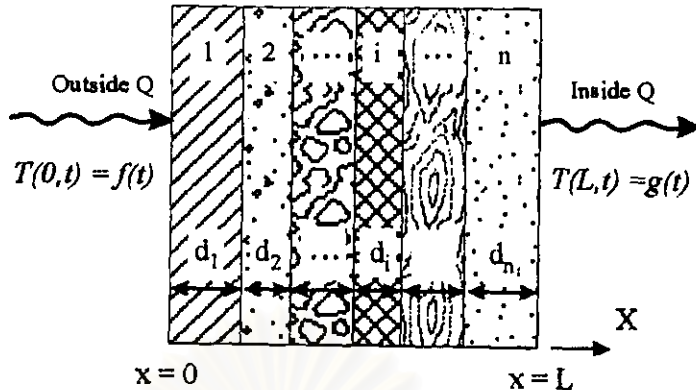
α = diffusivity = $k/\rho C_p$, ft^2/hr

k = ค่าการนำความร้อน, $Btu/hr-ft-^{\circ}F$

C_p = ค่าความจุความร้อนจำเพาะ, $Btu/lb-^{\circ}F$

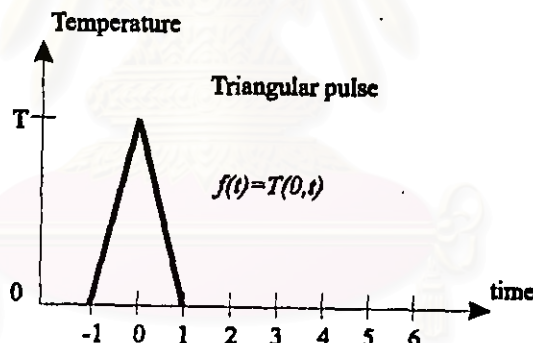
ρ = ค่าความหนาแน่น, lb/ft^3 .

โดยมีค่าอุณหภูมิที่ผิวผนังชั้นนอกทุกด้วยชั้นในสุดเป็นเงื่อนไขของเขต โดยสมการดังกล่าวสามารถปรับใช้กับผนังที่ประกอบด้วยวัสดุหลายชั้นดังรูปที่ 3.1 ได้

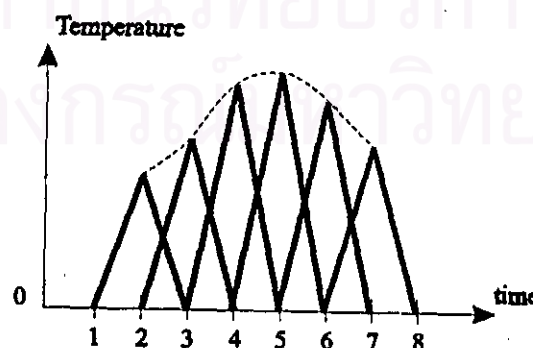


รูปที่ 3.1 การถ่ายเทความร้อนผ่านผนังกึ่งทึบประกอบด้วยวัสดุหลายชนิด

โดยที่กำหนดให้ $T(0, t)$ และ $T(L, t)$ เป็นค่าของอุณหภูมิในแต่ละชั่วโมงที่ตรวจวัดได้ที่ผิวของวัสดุชั้นนอกสุดและในสุดตามลำดับ (อาจเป็นอุณหภูมิที่ผิวต่ำหรืออาจเป็นอุณหภูมิอากาศที่ได้ในกรณีที่วัสดุรินสุดเป็นพื้นอากาศ) โดยที่ค่าอุณหภูมิในแต่ละชั่วโมงจะถูกเขียนเป็น pulse รูปสามเหลี่ยม ดังรูปที่ 3.2 (ก) ซึ่งเมื่อนำ pulse สามเหลี่ยมเหล่านี้มาเรียงต่อกันในแต่ละช่วงเวลา ก็จะได้กราฟของอุณหภูมิที่ผิวของวัสดุที่ແປรตามเวลาดังรูปที่ 3.2 (ข)



รูปที่ 3.2 (ก) Pulse รูปสามเหลี่ยมของอุณหภูมิที่ผิวของวัสดุ



รูปที่ 3.2 (ข) Pulse รูปสามเหลี่ยมเมื่อนำมาซ้อนต่อกัน

การหาผลเฉลยของสมการที่ 3.1 โดยตรง สำหรับผนังที่ประกอบด้วยสุดยอดชนิดช้อนกันนี้อาจทำได้ถ้าหากเนื่องจากเงื่อนไขขอบเขต (boundary condition) ที่ผิวด้านนอกทั้งสองด้านเปลี่ยนตามเวลาทำให้อุณหภูมิของผิวด้านนอกของช้อนแต่ละช้อนที่ซ้อนกันแปรตามเวลาไปด้วย ดังนั้นการวิเคราะห์ปัญหางึงนิยมเริ่มจากผนังช้อนเดียวก่อนแล้วจึงใช้วิธี superposition เพื่อให้ได้ผลเฉลยของการถ่ายเทความร้อนผ่านผนังที่ซับซ้อนมากขึ้น

ในการหาค่าการถ่ายเทความร้อนผ่านพนังทึบหนื้น ขั้นตอนแรก ได้แก่ การหาผลเฉลยของสมการที่ 3.1 ด้วยการใช้ Laplace transform เข้ากับสมการที่ 3.1 ภายใต้เงื่อนไขของอนเตต คือ อุณหภูมิผิวที่ระยะ $x = 0$ มีค่าเท่ากับ 0 และ อุณหภูมิผิวที่ระยะ $x = d_1$ มีค่าเท่ากับ $g(t)$ ซึ่งสมการที่ 3.1 จะแปลงเป็น

$$sT(x,s) = \alpha \cdot \frac{\partial^2 T(x,s)}{\partial x^2} \quad (3.2)$$

โดยมีเงื่อนไขของเหตุการณ์เปลี่ยนโดย Laplace transform จากความน่าจะเป็นดังนี้

$$\mathcal{L}[T(0,t) = 0] \quad \Rightarrow \quad T(0,s) = f(s) = 0$$

$$\mathcal{L}[T(d_1, t) = g(t)] \quad \Rightarrow \quad T(d_1, s) = g(s)$$

ผลเฉลี่ยของสมการที่ 3.2 หลังจากพิจารณาเงื่อนไขของเบต แล้วจะได้

$$T(x,s) = g(s) \cdot \frac{\sinh\left(\sqrt{\frac{s}{\alpha_1}} \cdot x\right)}{\sinh\left(\sqrt{\frac{s}{\alpha_1}} \cdot d_1\right)} \quad (3.3)$$

ชั้งสามารถจัดให้ออปุ่นในรูป $T(x,s) = \phi_T(x,s) \cdot g(x,s)$ โดยที่

$$\phi_{T1}(x, s) = \frac{\sinh\left(\sqrt{\frac{s}{\alpha_1}} \cdot x\right)}{\sinh\left(\sqrt{\frac{s}{\alpha_1}} \cdot d_1\right)}$$

ϕ_{T_1} ก็คือ Transfer function ที่แสดงความสัมพันธ์ระหว่าง pulse ของอุณหภูมิผิว $g(s)$ ซึ่งเป็น input กับ temperature response, $T(x, s)$, ใน s space

หากกลุ่มของไฟเบอร์ ค้าการถ่ายเทความร้อนในรูปของ conduction จะเรียกได้ตามสามการ

$$q(x,t) = -k \cdot \frac{\partial T(x,t)}{\partial x}$$

ซึ่งเมื่อแปลงโดย Laplace transform จะได้เป็น

$$q(x,s) = -k \cdot \frac{\partial T(x,s)}{\partial x}$$

แทนค่าวิกฤต $T(x,s)$ จากสมการที่ 3.3 แล้วจะได้

$$\begin{aligned} q(x,s) &= -k \cdot \frac{\partial \phi_{Tl}(x,s)}{\partial x} \cdot g(s) \\ &= \phi_{q1}(x,s) \cdot g(s) \end{aligned} \quad (3.4)$$

เมื่อ

$$\phi_{q1}(x,s) = -k_1 \cdot \sqrt{\frac{s}{\alpha_1}} \cdot \frac{\cosh\left(\sqrt{\frac{s}{\alpha_1}} \cdot x\right)}{\sinh\left(\sqrt{\frac{s}{\alpha_1}} \cdot d_1\right)}$$

ϕ_{q1} ที่เป็น transfer function ที่แสดงความสัมพันธ์ระหว่าง input ซึ่งเป็น pulse ของอุณหภูมิผิว $g(s)$ กับ heat flux response ของการนำความร้อนผ่านผนังที่บีบ

ขั้นตอนที่สอง ได้แก่ การหาผลเฉลยของสมการที่ 3.1 ด้วยการใช้ Laplace transform ภายใต้เงื่อนไขขอนเขต คือ อุณหภูมิผิวที่ระยะ $x = 0$ มีค่าเท่ากับ $f(t)$ และ อุณหภูมิผิวที่ระยะ $x = d_1$ มีค่าเท่ากับ 0 ซึ่งเมื่อแปลงเงื่อนไขขอนเขตเหล่านี้ด้วย Laplace transform จะเป็นดังนี้

$$\begin{aligned} \mathcal{L}[T(0,t) = f(t)] &\Rightarrow T(0,s) = f(s) \\ \mathcal{L}[T(d_1,t) = 0] &\Rightarrow T(d_1,s) = g(s) = 0 \end{aligned} \quad (3.5)$$

ผลเฉลยของสมการที่ 3.2 เมื่อพิจารณาเงื่อนไขขอนเขตที่ 3.5 คือ

$$T(x,s) = \phi_{T0}(x,s) \cdot f(s) \quad (3.6)$$

โดยนิ้ว Transfer function, ϕ_{Tl} เป็น

$$\phi_{T0}(x,s) = \frac{\sinh\left(\sqrt{\frac{s}{\alpha_1}} \cdot (d_1 - x)\right)}{\sinh\left(\sqrt{\frac{s}{\alpha_1}} \cdot d_1\right)}$$

และจากสมการที่ 3.6 จะสามารถคำนวณค่าการถ่ายเทความร้อน $q(x,s)$ และ ϕ_{q0} ซึ่งเป็น Transfer function ที่แสดงความสัมพันธ์ระหว่าง pulse ของอุณหภูมิผิว $f(s)$ กับ heat flux response ของการนำความร้อนผ่านผนังทึบ ได้จากกฎของฟูเรียร์ ดังนี้

$$\text{เมื่อ } q(x,s) = \phi_{q0}(x,s) \cdot f(s)$$

$$\phi_{q0}(x,s) = k_1 \cdot \sqrt{\frac{s}{\alpha_1}} \cdot \frac{\cosh\left(\sqrt{\frac{s}{\alpha_1}} \cdot (d_1 - x)\right)}{\sinh\left(\sqrt{\frac{s}{\alpha_1}} \cdot d_1\right)} \quad (3.7)$$

เมื่อได้วิเคราะห์ปัญหาสำหรับผนังชั้นเดียวโดยมีเงื่อนไขข้อเบตที่แตกต่างกันทั้ง 2 เงื่อนไขแล้ว หลังจากนั้นใช้วิธี superposition เพื่อร่วมผลเฉลยจากทั้งสองเงื่อนไขเข้าด้วยกัน ดังนี้ การถ่ายเทความร้อนที่ผิวด้านนอก (ที่ระดับ $x = 0$) เนื่องจากผลของ temperature pulse ที่ระดับ $x = 0$ และ d_1 จะเขียนได้ตามสมการที่ 3.8 และการถ่ายเทความร้อนที่ผิวด้านใน (ที่ระดับ $x = d_1$) เนื่องจากผลของ temperature pulse ที่ระดับ $x = 0$ และ d_1 จะเขียนได้ตามสมการที่ 3.9

$$q(0,s) = \phi_{q0}(0,s) \cdot T(0,s) + \phi_{q1}(0,s) \cdot T(d_1,s) \quad (3.8)$$

$$q(d_1,s) = \phi_{q0}(d_1,s) \cdot T(0,s) + \phi_{q1}(d_1,s) \cdot T(d_1,s) \quad (3.9)$$

หรือเขียนเป็นเมตริกซ์ของการนำความร้อนสำหรับผนังชั้นเดียวได้ดังนี้

$$\begin{bmatrix} q(0,s) \\ q(d_1,s) \end{bmatrix} = \begin{bmatrix} \phi_{q0}(0,s) & \phi_{q1}(0,s) \\ \phi_{q0}(d_1,s) & \phi_{q1}(d_1,s) \end{bmatrix} \cdot \begin{bmatrix} T(0,s) \\ T(d_1,s) \end{bmatrix} \quad (3.10)$$

ในการพิที่ผนังประกอบด้วยสุดยอดชนิด จำเป็นต้องปรับสมการที่ 3.10 ด้วยการบัญญัติ การนำความร้อน และ temperature pulse ที่ระดับ $x = 0$ ให้มាយคุายในเมตริกซ์ทางด้านซ้ายของ สมการดังนี้

$$\begin{bmatrix} T(0,s) \\ q(0,s) \end{bmatrix} = \begin{bmatrix} A_1(s) & B_1(s) \\ C_1(s) & D_1(s) \end{bmatrix} \cdot \begin{bmatrix} T(d_1,s) \\ q(d_1,s) \end{bmatrix} \quad (3.11)$$

$$\text{เมื่อ } A_1(s) = \cosh\left(d_1 \cdot \sqrt{\frac{s}{\alpha_1}}\right)$$

$$B_1(s) = \sinh\left(d_1 \cdot \sqrt{\frac{s}{\alpha_1}}\right) / k_1 \cdot \sqrt{\frac{s}{\alpha_1}}$$

$$C_1(s) = k_1 \cdot \sqrt{\frac{s}{\alpha_1}} \cdot \sinh\left(d_1 \cdot \sqrt{\frac{s}{\alpha_1}}\right)$$

$$D_1(s) = \cosh\left(d_1 \cdot \sqrt{\frac{s}{\alpha_1}}\right)$$

ในการปฏิบัติองการพิจารณาพิสูจน์ถ้าภาคเป็นส่วนหนึ่งของผังโดยถือว่าเป็นวัสดุอิกรุ่นหนึ่งนั้น จะหาค่า Transfer function matrix ได้โดยให้ความถูกความร้อนจำเพาะของวัสดุซึ่งที่เป็นภาคมีเข้าสู่ศูนย์จะพบว่า Transfer function matrix ของสมการที่ 3.11 จะมีค่าตามสมการที่ 3.12 ซึ่งจะได้

$$\begin{bmatrix} A_n & B_n \\ C_n & D_n \end{bmatrix} \rightarrow \begin{bmatrix} 1 & R_n \\ 0 & 1 \end{bmatrix} \quad (3.12)$$

การหา Transfer function matrix ของผังที่ประกอบด้วยวัสดุจำนวน n ชั้นสามารถทำได้โดยนำ Transfer function matrix ของผังชั้นเดียวจากสมการที่ 3.11 มาถูกลดต่อๆ กันโดยเริ่มจากผังชั้นนอกสุดมาหาผังชั้นในสุด ซึ่งสามารถเปลี่ยนสมการการถ่ายเทความร้อนชุดใหม่สำหรับผังหลาชั้น ได้ดังต่อไปนี้

$$\begin{bmatrix} T(0,s) \\ q(0,s) \end{bmatrix} = \begin{bmatrix} A_1 & B_1 \\ C_1 & D_1 \end{bmatrix} \cdot \begin{bmatrix} A_2 & B_2 \\ C_2 & D_2 \end{bmatrix} \cdots \begin{bmatrix} A_n & B_n \\ C_n & D_n \end{bmatrix} \cdot \begin{bmatrix} T(d_n,s) \\ q(d_n,s) \end{bmatrix}$$

หรือเขียนในรูปแบบย่อได้ดังนี้

$$\begin{bmatrix} T(0,s) \\ q(0,s) \end{bmatrix} = \begin{bmatrix} A(s) & B(s) \\ C(s) & D(s) \end{bmatrix} \cdot \begin{bmatrix} T(L,s) \\ q(L,s) \end{bmatrix} \quad (3.13)$$

$$\text{เมื่อ } L = \sum_{i=1}^n d_i$$

$$\begin{bmatrix} A(s) & B(s) \\ C(s) & D(s) \end{bmatrix} = \prod_{i=1}^n \begin{bmatrix} A_i(s) & B_i(s) \\ C_i(s) & D_i(s) \end{bmatrix}$$

หลังจากได้ Transfer function matrix สำหรับผังหลาชั้นตามสมการที่ 3.13 แล้วค่าการถ่ายเทความร้อนที่ผังชั้นนอกสุดแต่ละชั้นในสุดก็จะสามารถจัดรูปใหม่ ซึ่งเขียนได้ตามสมการ 3.14 ดังนี้

$$\begin{bmatrix} q(0,s) \\ q(L,s) \end{bmatrix} = \begin{bmatrix} \frac{D(s)}{B(s)} & -\frac{1}{B(s)} \\ \frac{1}{B(s)} & -\frac{A(s)}{B(s)} \end{bmatrix} \begin{bmatrix} T(0,s) \\ T(L,s) \end{bmatrix} \quad (3.14)$$

โดยมีค่าอุณหภูมิที่ผิวของวัสดุชั้นนอกสุดและชั้นในสุดเป็น input ในขณะที่ matrix กลางจะเป็น Transfer function matrix ดังนี้

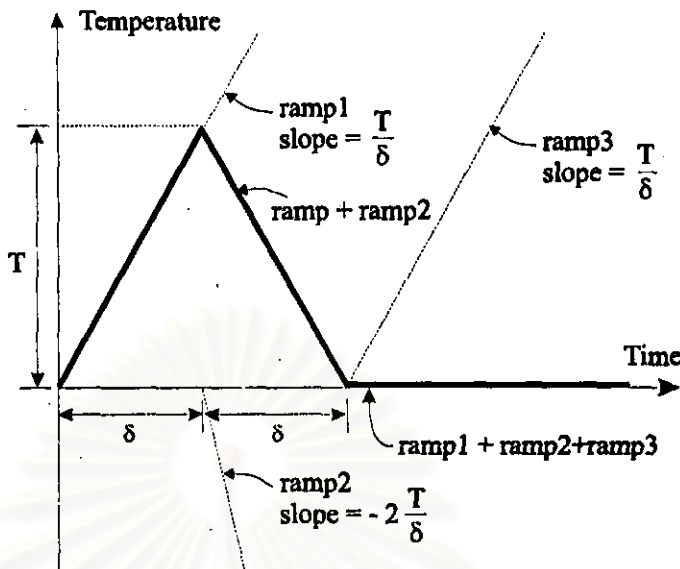
3.1.1 การคำนวณค่าอุณหภูมิผิวผังในโดเมน S และ อนุกรมของ Response factor หรือ สัมประสิทธิ์ Conduction transfer function

เมื่อกำหนดให้อุณหภูมิผิวชั้นนอกสุดและชั้นในสุดของแต่ละชั้นใน ที่ถูกเขียนแทนด้วย สัญลักษณ์ $T(0,t)$ และ $T(L,t)$ ตามลำดับนั้น อยู่ในรูปของสามการแบบ triangular pulse ตามรูปที่ 3.3 จะเห็นว่า 1 triangular pulse นั้นเกิดจากผิวรวมของ ramp จำนวน 3 ramp โดยที่ ramp ที่ 1 มีค่า slope เท่ากับ $\frac{T}{\delta}$ โดยตัดกับแกนเวลาที่ $t=0$ และ ramp ที่ 2 มีค่า slope เท่ากับ $-2\frac{T}{\delta}$ โดยตัดกับแกนเวลาที่ $t=\delta$ และ ramp ที่ 3 มีค่า slope เท่ากับ $\frac{T}{\delta}$ โดยตัดกับแกนเวลาที่ $t=2\delta$ สมการรูป triangular pulse บนโดเมนของเวลาเมื่อเปลี่ยนไปอยู่ในโดเมน s โดยการใช้ Laplace transform สามารถเปลี่ยนได้เป็นสมการ $H(s)$ ดังนี้

$$H(s) = \frac{T}{\delta \cdot s^2} ; \quad 0 \leq t < \delta$$

$$H(s) = \frac{T \cdot (1 - 2 \cdot e^{-s\delta})}{\delta \cdot s^2} ; \quad \delta \leq t < 2 \cdot \delta$$

$$H(s) = \frac{T \cdot (1 - 2 \cdot e^{-s\delta} + e^{-2s\delta})}{\delta \cdot s^2} ; \quad t \geq 2 \cdot \delta$$



รูปที่ 3.3 รูปของ 1 triangular pulse ที่เกิดจากผลของ ramp 3 ramp

ถ้ากำหนดให้ค่า $P(s)$ เป็นค่า temperature pulse ในโคลเมน s ต่อหน่วยอุณหภูมิ ค่าอุณหภูมิ ผิวน้ำโคลเมน s ก็จะเขียนได้เป็นผลคูณของอุณหภูมิ T กับค่า $P(s)$ ที่ชี้ว่าวงไคๆ ซึ่งก็จะเป็น input temperature matrix ของสมการที่ 3.14 นั้นเอง ส่วนการคำนวณหาอนุกรมของค่า Response factor ของผังที่ประกอบด้วยสี่สี่เหลี่ยม n ชั้น ทำได้โดยการคูณ pulse หนึ่งหน่วย, $P(s)$, กับ Transfer function matrix ชุดใหม่ในสมการที่ 3.14 แล้วทำการ inverse laplace transform (ILT) เพื่อแปลงผล เฉลยบน โคลเมน s ให้เป็นผลเฉลยบน โคลเมน t โดยสมมติให้ผลเฉลยบน โคลเมน t อยู่ในรูปเมตริกซ์ดัง ต่อไปนี้

$$\begin{bmatrix} q(0,t) \\ q(L,t) \end{bmatrix} = \sum_{m=1}^{\infty} \left\{ \begin{bmatrix} X_m & -Y_m \\ Y_m & Z_m \end{bmatrix} \cdot \begin{bmatrix} T_{0,t-m\delta+1} \\ T_{L,t-m\delta+1} \end{bmatrix} \right\} \quad (3.15)$$

เมื่อ $X_m = \mathcal{L}^{-1} \left[P(s) \cdot \frac{D(s)}{B(s)} \right]_{t=m\delta, m=1,2,3,\dots}$

$$Y_m \neq \mathcal{L}^{-1} \left[P(s) \cdot \frac{1}{B(s)} \right]_{t=m\delta, m=1,2,3,\dots}$$

$$Z_m = \mathcal{L}^{-1} \left[P(s) \cdot \frac{A(s)}{B(s)} \right]_{t=m\delta, m=1,2,3,\dots}$$

การใช้ ILT กับ Transfer function matrix ในสมการที่ 3.15 เพื่อหาผลเฉลยของ X_m , Y_m และ Z_m ในโคลัมนาเวลา (t space) สำหรับผังที่ประกอบด้วยสตุกหาดใหญ่โดยสามารถกระทำได้โดยใช้สมการทั่วไปสำหรับ ILT ตามสมการที่ 3.16

$$q(0,t) = \frac{1}{2\cdot\pi\cdot j} \cdot \int_{a-j\infty}^{a+j\infty} q(0,s) \cdot e^{st} \cdot ds \quad (3.16)$$

เมื่อ $j = \sqrt{-1}$

a เป็นจำนวนจริงที่มีค่ามาก

การหาค่าตอบจากสมการที่ 3.16 สามารถทำได้โดยใช้ทฤษฎีของจำนวนเชิงซ้อนที่ว่าค่าอินทิเกรตของสมการที่ 3.16 จะมีค่าเท่ากับผลรวมของเศษลงเหลือ (sum of residues) ของ pole ของ $V(0,s) \cdot e^{st}$ เมื่อ pole คือ จุด s ใดๆ ที่เมื่อแทนค่าแล้วทำให้ $V(0,s) \cdot e^{st}$ หาค่าไม่ได้ เมื่อพิจารณาดูดูกรน Response factor จากสมการที่ 3.15 พบว่า $B(s)$ เป็นตัวหารของอนุกรน Response factor ทุกชุด ดังนั้นการหาค่ารากของ $B(s)$ ก็คือการหา poles ของ $B(0,s) \cdot e^{st}$ นั่นเอง แต่การหาค่า pole ของผังที่มีจำนวนวัสดุมากกว่าหนึ่งชิ้นขึ้นไปจำเป็นต้องใช้ระเบียบวิธีเชิงเลข (numerical method) ประกอบด้วย เนื่องจากสมการของ $B(s)$ จะยังมีความซับซ้อนมากขึ้นถ้าจำนวนชิ้นของวัสดุเพิ่มขึ้น แม้แต่ผังที่ประกอบด้วยสตุกเพียงสองชิ้นก็ตาม เห็นได้จากสมการที่ 3.17

$$\begin{aligned} B(s) = & \frac{1}{k_2} \cdot \sqrt{\frac{\alpha_2}{s}} \cdot \cosh\left(d_1 \cdot \sqrt{\frac{s}{\alpha_1}}\right) \cdot \sinh\left(d_2 \cdot \sqrt{\frac{s}{\alpha_2}}\right) \\ & + \frac{1}{k_1} \cdot \sqrt{\frac{\alpha_1}{s}} \cdot \sinh\left(d_1 \cdot \sqrt{\frac{s}{\alpha_1}}\right) \cdot \cosh\left(d_2 \cdot \sqrt{\frac{s}{\alpha_2}}\right) \end{aligned} \quad (3.17)$$

เมื่อสมนติให้ค่า $-\beta_n$ คือ รากที่ n ของ $B(s)$ และ δ คือ ช่วงเวลา (time step) ซึ่งในที่นี้จะกำหนดให้มีค่าเท่ากับ 1 ชั่วโมง ดังนั้น

การคำนวณค่าของอนุกรน X Response factor จะหาได้จากสมการต่อไปนี้

$$X_1 = \frac{1}{\delta} \cdot \left[\delta \cdot \frac{D(s)}{B(s)} + \frac{D'(s)}{B(s)} - \frac{D(s) \cdot B'(s)}{(B(s))^2} \right]_{s=0} + \sum_{n=1}^{\infty} \frac{e^{s\delta} \cdot D(s)}{\delta \cdot s^2 \cdot B'(s)} \Big|_{s=-\beta_n}$$

$$X_2 = -\frac{1}{\delta} \cdot \left[\frac{D'(s)}{B(s)} - \frac{D(s) \cdot B'(s)}{(B(s))^2} \right]_{s=0} + \sum_{n=1}^{\infty} \frac{D(s)}{\delta \cdot s^2 \cdot B'(s)} \cdot (e^{2\delta s} - 2 \cdot e^{\delta s}) \Big|_{s=-\beta_n}$$

$$X_m = \sum_{n=1}^{\infty} \frac{D(s)}{\delta \cdot s^2 \cdot B'(s)} \cdot \left(e^{m\delta \cdot s} - 2 \cdot e^{(m-1)\delta \cdot s} + e^{(m-2)\delta \cdot s} \right) \Big|_{s=-\beta_n} \quad (3.18)$$

อนุกรม Y Response factor สามารถคำนวณได้จากสมการดังต่อไปนี้

$$Y_1 = \frac{1}{\delta} \cdot \left[\frac{\delta}{B(s)} - \frac{B'(s)}{(B(s))^2} \right]_{s=0} + \sum_{n=1}^{\infty} \frac{e^{s\delta}}{\delta \cdot s^2 \cdot B'(s)} \Big|_{s=-\beta_n}$$

$$Y_2 = \frac{1}{\delta} \cdot \frac{B'(s)}{(B(s))^2} \Big|_{s=0} + \sum_{n=1}^{\infty} \frac{\left(e^{2\delta \cdot s} - 2 \cdot e^{\delta \cdot s} \right)}{\delta \cdot s^2 \cdot B'(s)} \Big|_{s=-\beta_n}$$

$$Y_m = \sum_{n=1}^{\infty} \frac{\left(e^{m\delta \cdot s} - 2 \cdot e^{(m-1)\delta \cdot s} + e^{(m-2)\delta \cdot s} \right)}{\delta \cdot s^2 \cdot B'(s)} \Big|_{s=-\beta_n} \quad (3.19)$$

และอนุกรม Z Response factor สามารถคำนวณได้จากสมการดังต่อไปนี้

$$Z_1 = \frac{1}{\delta} \cdot \left[\delta \cdot \frac{A(s)}{B(s)} + \frac{A'(s)}{B(s)} - \frac{A(s) \cdot B'(s)}{(B(s))^2} \right]_{s=0} + \sum_{n=1}^{\infty} \frac{e^{s\delta} \cdot A(s)}{\delta \cdot s^2 \cdot B'(s)} \Big|_{s=-\beta_n}$$

$$Z_2 = -\frac{1}{\delta} \cdot \left[\frac{A'(s)}{B(s)} - \frac{A(s) \cdot B'(s)}{(B(s))^2} \right]_{s=0} + \sum_{n=1}^{\infty} \frac{A(s)}{\delta \cdot s^2 \cdot B'(s)} \cdot \left(e^{2\delta \cdot s} - 2 \cdot e^{\delta \cdot s} \right) \Big|_{s=-\beta_n}$$

$$Z_m = \sum_{n=1}^{\infty} \frac{A(s)}{\delta \cdot s^2 \cdot B'(s)} \cdot \left(e^{m\delta \cdot s} - 2 \cdot e^{(m-1)\delta \cdot s} + e^{(m-2)\delta \cdot s} \right) \Big|_{s=-\beta_n} \quad (3.20)$$

เมื่อกำหนพันธ์ของ $A(s), B(s), C(s)$ และ $D(s)$ สามารถคำนวณได้โดยใช้ chain's rule จะได้ผลลัพธ์ดังต่อไปนี้

$$\begin{bmatrix} A'(s) & B'(s) \\ C'(s) & D'(s) \end{bmatrix} = \begin{bmatrix} A'_1 & B'_1 \\ C'_1 & D'_1 \end{bmatrix} \cdot \begin{bmatrix} A_2 & B_2 \\ C_2 & D_2 \end{bmatrix} \cdots \begin{bmatrix} A_n & B_n \\ C_n & D_n \end{bmatrix}$$

$$+ \begin{bmatrix} A_1 & B_1 \\ C_1 & D_1 \end{bmatrix} \cdot \begin{bmatrix} A'_2 & B'_2 \\ C'_2 & D'_2 \end{bmatrix} \cdots \begin{bmatrix} A_n & B_n \\ C_n & D_n \end{bmatrix}$$

$$+ \begin{bmatrix} A_1 & B_1 \\ C_1 & D_1 \end{bmatrix} \cdot \begin{bmatrix} A_2 & B_2 \\ C_2 & D_2 \end{bmatrix} \cdots \begin{bmatrix} A_n' & B_n' \\ C_n' & D_n' \end{bmatrix} \quad (3.21)$$

หลังจากคำนวณค่าอนุกรม X , Y และ Z Response factor จากชุดสมการที่ 3.18, 3.19 และ 3.20 แล้วจะใช้ค่านิวเคลียร์ค่าพื้นที่งานความร้อนที่ผ่านผิวด้านนอกตู้และด้านในตู้ของผนังได้จากสมการที่ 3.22 และ 3.23 ตามลำดับ

$$q(0,t) = \sum_{m=1}^{\infty} X_m \cdot T_{0,t-m\delta+1} - \sum_{m=1}^{\infty} Y_m \cdot T_{L,t-m\delta+1} \quad (3.22)$$

$$q(L,t) = \sum_{m=1}^{\infty} Y_m \cdot T_{0,t-m\delta+1} - \sum_{m=1}^{\infty} Z_m \cdot T_{L,t-m\delta+1} \quad (3.23)$$

การตรวจสอบความถูกต้องของอนุกรม Response factor หรือสัมประสิทธิ์ Conduction transfer function จากสมการที่ 3.18, 3.19 และ 3.20 สามารถทำได้โดยใช้คุณสมบัติของ Response factor จำนวน 2 ข้อ ดังนี้ คุณสมบัติข้อแรก คือ ผลรวมของทุกพจน์ในอนุกรม X , Y และ Z จะมีค่าเท่ากับค่าสัมประสิทธิ์ถ่ายเทขายความร้อนรวม (U value) ของผนังตามสมการดังต่อไปนี้

$$\sum_{m=1}^{\infty} X_m = \sum_{m=1}^{\infty} Y_m = \sum_{m=1}^{\infty} Z_m = U \quad (3.24)$$

คุณสมบัติข้อที่สอง คือ เมื่อค่า m มีค่ามากขึ้นแต่ละที่ pole ที่มีค่าเป็นลบมาก ทำให้พจน์ที่ m ของ X_m , Y_m และ Z_m จะมีความสำคัญน้อยลงเรื่อยๆ คุณสมบัติข้อนี้จะใช้ในการลดจำนวนพจน์ที่จะต้องใช้ในการคำนวณในหัวข้อต่อไป

3.1.2 การลดจำนวนพจน์ของ X , Y และ Z response factors

เมื่อตั้งเกตค่า m ในอนุกรมของ Response factor หรือสัมประสิทธิ์ Conduction transfer function ในสมการที่ 3.22 และ 3.23 จะพบว่าตัวสมการให้ใช้ค่าสัมประสิทธิ์ X_m , Y_m และ Z_m ในการคำนวณค่าการถ่ายเทขายความร้อน โดยที่ m มีค่าจาก 1 ถึง ∞ ซึ่งหมายความว่าการคำนวณค่าการถ่ายเทขายความร้อนผ่านผนัง โดยใช้ 2 สมการนี้ จะเป็นต้องใช้ค่าของอุณหภูมิในอดีต (temperature history) เป็นจำนวนมากถึงจะได้ค่าการถ่ายเทขายความร้อนที่แม่นยำ ดังนั้นการลดจำนวนพจน์ของ Response factor จึงมีความสำคัญ ซึ่งสามารถทำได้โดยการเพิ่มพจน์การถ่ายเทขายความร้อนในอดีต (heat flux history) ให้กับสมการที่ 3.22 และ 3.23 เพื่อขยายค่าพจน์ Response factor ที่ถูกต้องไป ซึ่งก็คือการนำเอาผลเฉลยของค่าการถ่ายเทขายความร้อนในช่วงไม่ก่อนๆ จากสมการที่ 3.22 และ 3.23 มา

ประกอนเป็นข้อมูลขาเข้านั้นเอง ซึ่งการลดจำนวนพจน์นั้นจะใช้วิธีของ Douglas [40] ซึ่งมีรายละเอียดดังต่อไปนี้

เริ่มจากพิจารณาปัญหาการนำความร้อนผ่านผิวด้านนอก หรือ ที่ระดับ $x = 0$ ที่ได้รับการกระตุ้นจาก temperature pulse ที่ผิวหนังด้านใน หรือ ที่ระดับ $x = d$, เพียงอย่างเดียว และกำหนดให้ temperature pulse ที่ผิวหนังด้านนอกมีค่าเท่ากับ 0 จะจัดรูปสมการที่ 3.22 ใหม่ได้ดังนี้

$$q(0, t) = - \sum_{m=1}^{\infty} Y_m \cdot T_{L,t-m+\delta+1} \quad (3.25)$$

ถ้ากำหนดให้ m มีค่ามากกว่าหรือเท่ากับ m' ใดๆ ที่ทำให้สมการ $Y_m \equiv g_1 \cdot \lambda_1^{m'}$ เป็นจริง

เมื่อ $\lambda_n = e^{-\delta \beta_n}$ และ $g_n = \left. \frac{(1-e^{\delta \beta_n})^2}{\delta \cdot \beta_n^2 \cdot B'(s)} \right|_{s=-\beta_n}$ ต่อมาก็จะทราบว่าทั้งค่า λ_n และ g_n ล้วนเป็นจำนวนจริง

สมการที่ 3.25 แล้วแทนค่าตัวแปรเวลาด้วย t กับ $t-1$ ซึ่งก็คือเวลาที่ช่วงในปัจจุบันกับเวลาช่วงในก่อน ซึ่งจะได้สมการที่ 3.26 และ 3.27 ตามลำดับ

$$\begin{aligned} q(0, t) &= -Y_1 \cdot T_{L,t} - Y_2 \cdot T_{L,t-1} - Y_3 \cdot T_{L,t-2} - \dots \\ &\quad - Y_{m'-1} \cdot T_{L,t-m'+2} - g_1 \cdot \lambda_1^{m'} \cdot T_{L,t-m'+1} \\ &\quad - g_1 \cdot \lambda_1^{m'+1} \cdot T_{L,t-m'} - g_1 \cdot \lambda_1^{m'+2} \cdot T_{L,t-m'-1} - \dots \end{aligned} \quad (3.26)$$

$$\begin{aligned} q(0, t-1) &= -Y_1 \cdot T_{L,t-1} - Y_2 \cdot T_{L,t-2} - Y_3 \cdot T_{L,t-3} - \dots \\ &\quad - Y_{m'-2} \cdot T_{L,t-m'+2} - Y_{m'-1} \cdot T_{L,t-m'+1} \\ &\quad - g_1 \cdot \lambda_1^{m'} \cdot T_{L,t-m'} - g_1 \cdot \lambda_1^{m'+1} \cdot T_{L,t-m'-1} - \dots \end{aligned} \quad (3.27)$$

หลังจากนั้น ถูกสมการที่ 3.27 ด้วย λ_1 ตลอดสมการ แล้วจึงลบตัวบทสมการที่ 3.26 จัดรูปสมการใหม่จะได้

$$\begin{aligned} q(0, t) - \lambda_1 \cdot q(0, t-1) &= -Y_1 \cdot T_{L,t} - (Y_2 - \lambda_1 \cdot Y_1) \cdot T_{L,t-1} \\ &\quad - (Y_3 - \lambda_1 \cdot Y_2) \cdot T_{L,t-2} - \dots - (Y_{m'-1} - \lambda_1 \cdot Y_{m'-2}) \cdot T_{L,t-m'+2} \\ &\quad - (Y_{m'} - \lambda_1 \cdot Y_{m'-1}) \cdot T_{L,t-m'+1} \\ &\quad - (g_1 \cdot \lambda_1^{m'+1} - g_1 \cdot \lambda_1 \cdot \lambda_1^{m'}) \cdot T_{L,t-m'} \\ &\quad - (g_1 \cdot \lambda_1^{m'+2} - g_1 \cdot \lambda_1 \cdot \lambda_1^{m'+1}) \cdot T_{L,t-m'-1} - \dots \end{aligned} \quad (3.28)$$

จากสมการที่ 3.28 จะสังเกตเห็นว่าค่าสัมประสิทธิ์ตัวแปรของอุณหภูมิที่อยู่ด้านซ้ายของพจน์ $T_{L,t-m'+1}$ เป็นต้นไปซึ่งได้แก่สัมประสิทธิ์ตัวแปรของพจน์ $T_{L,t-m'}, T_{L,t-m'-1}, T_{L,t-m'-2}$ และพจน์หลังจากนั้นจะมีค่าเท่ากับศูนย์ ต่อมา จัดรูปของสมการที่ 3.28 โดยขยับข้างหนึ่งค่าการถ่ายเทกความร้อนที่คำนวณได้จากช่วงไม่ง่ายอน, $\lambda_1 \cdot q(0, t-1)$, มาทางซ้ายของสมการจะได้

$$q(0, t) = - \sum_{m=1}^{m'} Y_{1,m} \cdot T_{L,t-m+1} + \lambda_1 \cdot q(0, t-1) \quad (3.29)$$

$$\begin{aligned} \text{เมื่อ } Y_{1,1} &= Y_1 \\ Y_{1,m} &= Y_m - \lambda_1 \cdot Y_{m-1} \quad \text{สำหรับ } m \geq 2 \end{aligned}$$

ค่าตัวห้อข 1 หมายถึง ค่าสัมประสิทธิ์การนำความร้อนอันดับที่ 1 (first-order conduction transfer coefficient) หลังจากนั้น ใช้วิธีการขึ้นต้นกับชุดอนุกรม X_m และ Z_m ก็จะได้ค่าสัมประสิทธิ์การนำความร้อนอันดับที่ 1 ดังต่อไปนี้

$$\begin{aligned} X_{1,1} &= X_1 \\ X_{1,m} &= X_m - \lambda_1 \cdot X_{m-1} \quad \text{สำหรับ } m \geq 2 \\ Z_{1,1} &= Z_1 \\ Z_{1,m} &= Z_m - \lambda_1 \cdot Z_{m-1} \quad \text{สำหรับ } m \geq 2 \end{aligned}$$

ดังนั้น สมการการถ่ายเทกความร้อนเมื่อใช้ค่าสัมประสิทธิ์การนำความร้อนอันดับที่ 1 คือ

$$q(0, t) = \sum_{m=1}^{m'} X_{1,m} \cdot T_{0,t-m+1} - \sum_{m=1}^{m'} Y_{1,m} \cdot T_{L,t-m+1} + \lambda_1 \cdot q(0, t-1) \quad (3.30)$$

$$q(L, t) = \sum_{m=1}^{m'} Y_{1,m} \cdot T_{0,t-m+1} - \sum_{m=1}^{m'} Z_{1,m} \cdot T_{L,t-m+1} + \lambda_1 \cdot q(L, t-1) \quad (3.31)$$

การคำนวณค่าสัมประสิทธิ์การนำความร้อนอันดับที่ 2 (second-order conduction transfer coefficient) สามารถหาได้โดยใช้ขั้นตอนเดียวกันกับการคำนวณค่าสัมประสิทธิ์อันดับที่ 1 คือ

$$\begin{aligned} &(q(0, t) - \lambda_1 \cdot q(0, t-1)) - \lambda_2 \cdot (q(0, t-1) - \lambda_1 \cdot q(0, t-2)) \\ &= -Y_{1,1} \cdot T_{L,t} - (Y_{1,2} - \lambda_2 \cdot Y_{1,1}) \cdot T_{L,t-1} - (Y_{1,3} - \lambda_2 \cdot Y_{1,2}) \cdot T_{L,t-2} - \dots \\ &\quad - (Y_{1,m''} - \lambda_2 \cdot Y_{1,m''-1}) \cdot T_{L,t-m''+1} \end{aligned} \quad (3.32)$$

เมื่อ m'' คือ ค่า m ที่ทำให้สมการ $Y_{1,m} \equiv g_2 \cdot \lambda_2^{m''}$ เป็นจริง

ซึ่งจะได้ค่าสัมประสิทธิ์การนำความร้อนอันดับที่ 2 คือ

$$\begin{aligned} X_{2,1} &= X_{1,1} \\ X_{2,m} &= X_{1,m} - \lambda_2 \cdot X_{1,m-1} \quad \text{สำหรับ } m \geq 2 \\ Y_{2,1} &= Y_{1,1} \\ Y_{2,m} &= Y_{1,m} - \lambda_2 \cdot Y_{1,m-1} \quad \text{สำหรับ } m \geq 2 \\ Z_{2,1} &= Z_{1,1} \\ Z_{2,m} &= Z_{1,m} - \lambda_2 \cdot Z_{1,m-1} \quad \text{สำหรับ } m \geq 2 \end{aligned}$$

ดังนั้น สมการการถ่ายเทความร้อนเมื่อใช้ค่าสัมประสิทธิ์การนำความร้อนอันดับที่ 2 คือ

$$\begin{aligned} q(0,t) &= \sum_{m=1}^{m''} X_{2,m} \cdot T_{0,t-m+1} - \sum_{m=1}^{m''} Y_{2,m} \cdot T_{L,t-m+1} \\ &\quad + (\lambda_1 + \lambda_2) \cdot q(0,t-1) - \lambda_1 \cdot \lambda_2 \cdot q(0,t-2) \end{aligned} \quad (3.33)$$

$$\begin{aligned} q(L,t) &= \sum_{m=1}^{m''} Y_{2,m} \cdot T_{0,t-m+1} - \sum_{m=1}^{m''} Z_{2,m} \cdot T_{L,t-m+1} \\ &\quad + (\lambda_1 + \lambda_2) \cdot q(L,t-1) - \lambda_1 \cdot \lambda_2 \cdot q(L,t-2) \end{aligned} \quad (3.34)$$

สำหรับ สมการการนำความร้อนเมื่อใช้ค่าสัมประสิทธิ์การนำความร้อนอันดับที่ k (k th-order conduction transfer function) จะเป็นไปได้ตามสมการดังนี้

$$q(0,t) = \sum_{m=1}^M X_{k,m} \cdot T_{0,t-m+1} - \sum_{m=1}^M Y_{k,m} \cdot T_{L,t-m+1} + \sum_{m=1}^k F_m \cdot q(0,t-m) \quad (3.35)$$

$$q(L,t) = \sum_{m=1}^M Y_{k,m} \cdot T_{0,t-m+1} - \sum_{m=1}^M Z_{k,m} \cdot T_{L,t-m+1} + \sum_{m=1}^k F_m \cdot q(L,t-m) \quad (3.36)$$

เมื่อ F_m คือ สัมประสิทธิ์ของการถ่ายเทความร้อนในอดีต (heat flux history coefficient) โดยที่จำนวนพจน์ของ k ไม่ควรมีค่าเกิน 5 ตามข้อแนะนำของ Peavy [41] โดยที่ F_m จะคำนวณได้จากสมการดังต่อไปนี้

$$F_1 = \lambda_1 + \lambda_2 + \lambda_3 + \lambda_4$$

$$F_2 = -(\lambda_1 \cdot \lambda_2 + \lambda_1 \cdot \lambda_3 + \lambda_1 \cdot \lambda_4 + \lambda_2 \cdot \lambda_3 + \lambda_2 \cdot \lambda_4 + \lambda_3 \cdot \lambda_4)$$

$$F_3 = \lambda_1 \cdot \lambda_2 \cdot \lambda_3 + \lambda_1 \cdot \lambda_2 \cdot \lambda_4 + \lambda_1 \cdot \lambda_3 \cdot \lambda_4 + \lambda_2 \cdot \lambda_3 \cdot \lambda_4$$

$$F_4 = -\lambda_1 \cdot \lambda_2 \cdot \lambda_3 \cdot \lambda_4$$

โดยที่การคำนวณหาค่าจำนวนพจน์ M และอันดับ k ซึ่งเป็นค่าที่ระบุจำนวนพจน์ของอุณหภูมิในอดีต และการถ่ายเทความร้อนในอดีต ที่ใช้ในการคำนวณค่าการถ่ายเทความร้อนจากสมการที่ 3.35 และ 3.36 นั้นจะต้องเป็นค่าที่ทำให้เงื่อนไขตามสมการที่ 3.37 เป็นจริง ซึ่งจะคล้ายกับคุณสมบัติข้อแรกของ Response factors ในสมการที่ 3.24 นั้นคือ

$$\sum_{m=1}^M X_{k,m} = \sum_{m=1}^M Y_{k,m} = \sum_{m=1}^M Z_{k,m} = U \cdot \prod_{i=1}^k (1 - \lambda_i) \quad (3.37)$$

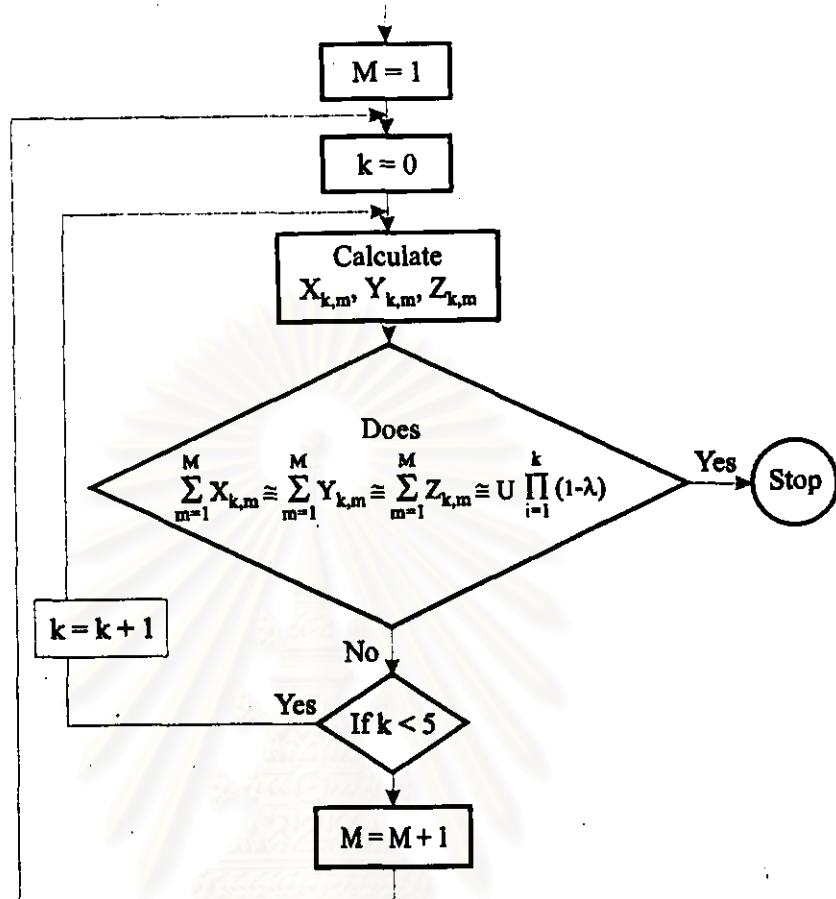
เมื่อ $\lambda_i = e^{-\delta \beta_i}$ โดยที่ δ คือ ช่วงเวลา (time step) β_i คือ รากที่ i ของ $B(s)$ และ U คือค่าสัมประสิทธิ์ถ่ายเทความร้อนรวมของผนัง ซึ่งได้อธิบายไว้ในขั้นตอนการหาค่า X_m , Y_m และ Z_m ในหัวข้อก่อน ส่วนขั้นตอนการคำนวณหาจำนวนพจน์ M และอันดับ k ที่เหมาะสม จะอธิบายในส่วนที่ 3.4

จากสมการที่ 3.35 และ 3.36 จะพบว่าค่าตัวแปรต้นของสมการทั้ง 2 คือ อนุกรมของค่าอุณหภูมิผิวชั้นนอกสุดที่ระยะ $x = 0$ และอนุกรมของค่าอุณหภูมิผิวชั้นในสุดที่ระยะ $x = L$ ซึ่งค่าของตัวแปรต้นทั้ง 2 สามารถหาได้ดังนี้

1. การตรวจวัดอุณหภูมิผิวของวัสดุโดยตรง
2. การตรวจวัดหรือการสมนติค่าอุณหภูมิกระแสเปลี่ยนของอากาศภายในห้อง ในการผิวที่วัสดุชั้นในสุดเป็นฟิล์มอากาศ
3. การคำนวณค่า Solar-air temperature จากข้อมูลสภาพบรรยายอากาศ ในการผิวที่วัสดุชั้นนอกสุดเป็นฟิล์มอากาศ

การกำหนดให้ค่าอุณหภูมิผิวจากวิธีที่ 2 และ 3 เป็นค่าตัวแปรต้นหรือเป็นค่าเงื่อนไขของเขต จะเป็นวิธีที่โปรแกรมประมาณค่าหลังงานของอาคารส่วนใหญ่นิยมใช้ เมื่อจากนั้นค่าที่ได้มาโดยง่าย และให้ผลเฉลยที่มีความน่าเชื่อถือ

จุฬาลงกรณ์มหาวิทยาลัย

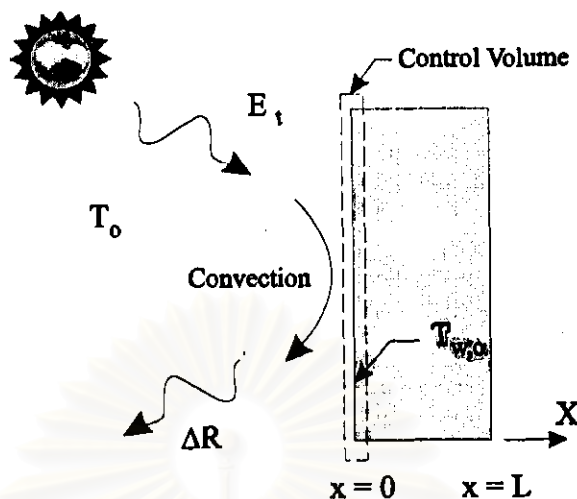


รูปที่ 3.4 ขั้นตอนการคำนวณหาค่าจำนวนพจน์ M และค่าอันดับ k ที่เหมาะสม

3.2 วิธีการคำนวณค่า Solar-air temperature

ASHRAE ได้เผยแพร่วิธีการคำนวณค่าการถ่ายเทควมร้อนผ่านผนังทึบด้วย Transfer function method เป็นครั้งแรกโดยพิมพ์ใน 1972 ASHRAE Handbook of Fundamental โดยใช้ค่าอุณหภูมิกระเพาะแห่งของอากาศภายในห้องและค่า Solar-air temperature เป็นค่าเมื่อนำมาบวก

เมื่อ ค่า Solar-air temperature คือ ค่าของอุณหภูมิถุงที่เป็นตัวแทนของสภาพบรรยายอากาศภายในห้องที่มีอิทธิพลต่อการถ่ายเทควมร้อนให้แก่ผนัง สภาพบรรยายอากาศนองคงก่อตัว ได้แก่ ค่ารังสีรวมจากดวงอาทิตย์ที่ตกกระทบผนัง (E_t) อุณหภูมิกระเพาะแห่งของอากาศภายนอก (T_o) ความเร็วของลมที่ผิวดวงผนัง เป็นต้น



รูปที่ 3.5 แสดงส่วนคุณของพลังงานที่ผิวค้านอกของผนังทึบ

วิธีการคำนวณค่า Solar-air temperature จะเริ่มจากการพิจารณาพื้นที่ที่ต้องคำนวณความร้อนทุกประเภทที่มีอิทธิพลต่อปริมาตรควบคุม (control volume) ที่ผิวหนังค้านอกสุด ซึ่งได้แก่ รังสีร้อนจากดวงอาทิตย์ที่ตกกระทบผนัง การพากความร้อนเนื่องจากการไหลดิเวียนของอาคารที่ผิวของผนัง การแตกเปลี่ยนรังสีความร้อนคลื่นยาวระหว่างผนังกับสิ่งแวดล้อม โดยสมมติให้มวลของผนังเท่าๆ ในปริมาตรควบคุมนี้ปริมาณน้อยมากจนไม่มีการสะสมของพลังงานความร้อนในปริมาตรควบคุม ดังรูปที่ 3.5 แล้วจึงเขียนสมการสมดุลพลังงานที่ถ่ายเทเข้าสู่ปริมาตรควบคุมตามสมการที่ 3.38 และสมการการพากความร้อนที่เทียบเท่ากับสมการที่ 3.38 คั่งสมการที่ 3.39 ดังนี้

$$q_{\text{outside}} = \alpha \cdot E_t + h_o \cdot (T_o - T_{w,o}) - \varepsilon \cdot \Delta R \quad (3.38)$$

และ

$$q_{\text{outside}} = h_o \cdot (T_e - T_{w,o}) \quad (3.39)$$

เมื่อ q_{outside} คือ ปริมาณความร้อนทั้งหมดที่ตกกระทบผิวค้านอกของกรอบอาคาร

T_e คือ ค่า Solar-air temperature, °F

α คือ สัมประสิทธิ์การดูดซับรังสีของกรอบอาคาร

E_t คือ รังสีร้อนจากดวงอาทิตย์ที่ตกกระทบกรอบอาคาร, $Btu/(hr \cdot ft^2)$

h_o	คือ	สัมประสิทธิ์การถ่ายเทความร้อนเนื่องจากการแผ่รังสีความร้อน คลื่นยาวและการพาความร้อนระหว่างกรอบอาคารกับอากาศ ภายนอก , $Btu/(hr \cdot ft^2 \cdot ^\circ F)$
T_o	คือ	อุณหภูมิระเบาส์แห่งของอากาศภายนอกกรอบอาคาร , $^\circ F$
$T_{w,o}$	คือ	อุณหภูมิพิวผนังด้านนอกสุด, $^\circ F$
ε	คือ	สัมประสิทธิ์การเปล่งรังสีของกรอบอาคาร
ΔR	คือ	ผลต่างของการแลกเปลี่ยนรังสีความร้อนคลื่นขาวระหว่างกรอบ อาคารกับห้องฟ้าและสิ่งแวดล้อมโดยรอบ , $Btu/(hr \cdot ft^2)$

เนื่องจากในขั้นตอนการออกแบบอาคารจะไม่สามารถระบุค่าอุณหภูมิพิวของผนังด้านนอกสุด ($T_{w,o}$) ได้ ดังนี้เพื่อกำจัดพจน์ $T_{w,o}$ จึงนำเอาสมการที่ 3.38 มาลบด้วยสมการที่ 3.39 จัดรูปของสมการใหม่ก็จะได้ค่า Solar-air temperature ตามสมการที่ 3.40 ดังนี้

$$T_e = T_o + \frac{\alpha \cdot E_t}{h_o} - \frac{\varepsilon \cdot \Delta R}{h_o} \quad (3.40)$$

จากสมการที่ 3.40 พนวจว่า ค่าของอุณหภูมิอากาศภายนอกราขั่วโถง (T_o) และค่ารังสีรวมจากดวงอาทิตย์ราขั่วโถง (E_t) ที่ติดกระทบผิวนอกของกรอบอาคารเป็นข้อมูลที่สามารถตรวจสอบได้โดยตรง หรืออาจใช้ข้อมูลจากสถานีตรวจอากาศที่อยู่ในบริเวณใกล้เคียงเป็นตัวแทนได้ ส่วนค่าของสัมประสิทธิ์การคุณชับรังสี (α) และค่าสัมประสิทธิ์การเปล่งรังสีของกรอบอาคาร (ε) ที่เป็นค่าคงที่อาจได้มาจากการถูกทดสอบบัดการแผ่รังสีของวัสดุ แต่ค่าของสัมประสิทธิ์การถ่ายเทความร้อนเนื่องจากการแผ่รังสีความร้อนคลื่นยาวและการพาความร้อน (h_o) และผลต่างของการแลกเปลี่ยนรังสีความร้อนคลื่นขาว (ΔR) ที่มีการเปลี่ยนแปลงทุกขั้วโถงซึ่งมีอิทธิพลต่อการคำนวณค่า Solar-air temperature อย่างมาก และเป็นค่าที่ไม่สามารถหาได้จากสถานีตรวจอากาศหรือการเปิดตารางดังนั้น ที่มาของค่าทั้ง 2 นี้อาจมาจาก การสมมติให้เป็นค่าคงที่ตามสมมติฐานของ ASHRAE หรือกำหนดให้เป็นค่าที่มีการเปลี่ยนแปลงราขั่วโถง ดังนี้

ASHRAE จึงได้สมมติให้ค่าสัมประสิทธิ์ h_o เป็นค่าคงที่เท่ากับ $3.0 \text{ Btu}/(\text{hr} \cdot \text{ft}^2 \cdot ^\circ \text{F})$ ซึ่งค่าดังกล่าวเหมาะสมสำหรับการคำนวณค่าการนำความร้อนผ่านผนังที่บ้านสำหรับการออกแบบ ส่วนค่า ΔR นั้น ASHRAE สมมติให้เป็นค่าคงที่เท่ากับ $20 \text{ Btu}/(\text{hr} \cdot \text{ft}^2)$ สำหรับพื้นผิวในแนวระดับ หรือมีค่าเท่ากับ $0 \text{ Btu}/(\text{hr} \cdot \text{ft}^2)$ สำหรับผนังที่ตั้งฉากกับแนวระดับ ซึ่งใช้กับกรณีที่พื้นผิวหรือผนังมีอุณหภูมิสูงกว่าอากาศภายนอกมากเท่านั้น เป็นดัง

ส่วนการกำหนดให้เป็นค่าที่มีการเปลี่ยนแปลงรายชั่วโมงนั้นมีขั้นตอนดังนี้ กำหนดให้ค่า h_o เป็นค่าที่แปรเปลี่ยนตามค่าความเร็วลมและระดับความชุบชื้นของผิววัสดุ ซึ่งสามารถเขียนให้อยู่ในรูปของสมการพหุนามอันดับที่ 2 ของค่าความเร็วลม โดยค่าสัมประสิทธิ์ของพหุนามได้จากการทดลองของ Rowley [42] ซึ่งทำการทดสอบบนวัสดุตัวอย่างที่มีขนาด 12×12 ตารางนิวต์ เมื่อกำหนดให้ค่าอุณหภูมิเฉลี่ยเท่ากับ 20°F และค่าความเร็วลมมีค่าน้อยกว่า 17.8 m/s ซึ่งเขียนเป็นสมการดังนี้

$$h_o = \text{Coeff}_1 + \text{Coeff}_2 \cdot U_o + \text{Coeff}_3 \cdot U_o^2 \quad (3.41)$$

เมื่อ U_o คือ ค่าความเร็วลมบริเวณผิวของผนัง, *knots*

Coeff_i คือ ค่าสัมประสิทธิ์ของพหุนาม จากร่างที่ 3.1

ตารางที่ 3.1 ค่าสัมประสิทธิ์ของพหุนามจากสมการที่ 3.41

ISURRO	Coeff ₁	Coeff ₂	Coeff ₃
1	2.04	0.535	0.0
2	2.20	0.369	0.001329
3	1.90	0.380	0.0
4	1.45	0.363	-0.002658
5	1.80	0.281	0.0
6	1.45	0.302	-0.001661

เมื่อ ค่า ISURRO คือ ระดับความชุบชื้นของผิววัสดุที่มีทั้งหมด 6 ระดับ โดยเรียงจากระดับความชุบชื้นมากไปหาน้อย ดังนี้

ระดับที่ 1. ปูนขาว (Stucco)

ระดับที่ 2. อิฐก่อ และปูนดานผนังแบบหิน (brick and rough plaster)

ระดับที่ 3. ก้อนกรีต (concrete)

ระดับที่ 4. ไม้สนขัดเรียบ (clear pine)

ระดับที่ 5. ปูนดานผนังแบบเรียบ (smooth plaster)

ระดับที่ 6. กระอก และไม้สนที่ทาสีขาว (glass and white paint on pine)

ส่วนค่าผลต่างของการแลกเปลี่ยนรังสีความร้อนคลื่นยาวระหว่างผนังกับห้องพ้าและสิ่งแวดล้อมโดยรอบ (ΔR) สำหรับกรณีที่ผลต่างของอุณหภูมิมีค่าต่ำการใช้สมนติฐานตาม ASHRAE อาจให้ค่า ΔR ที่ไม่แม่นยำ ดังนั้นจึงควรคำนวณค่า ΔR ของผนังชิ้นที่ j ด้วยสมการการแผ่รังสีความร้อนจากผนังชิ้นที่ i ; ที่ตั้งกระแทบบนผนังชิ้นที่ j จากสมการดังนี้

$$\Delta R_j = \frac{\sum_{i=1}^N q_{ij}}{A_j} \quad \text{เมื่อ } i \neq j \quad (3.42)$$

โดยที่

$$q_{ij} = \alpha_j \cdot A_i \cdot F_{ij} \cdot \sigma \cdot (T_i^4 - T_j^4) \quad (3.43)$$

เมื่อ q_{ij} คือ ค่าการแผ่รังสีความร้อนจากผนังชิ้นที่ i ที่ตั้งกระแทบบนผนังชิ้นที่ j , Btu/hr

α_j คือ สัมประสิทธิ์การคัดซับรังสีของผนังชิ้นที่ j

A_i, A_j คือ พื้นที่ผิวของผนังชิ้นที่ i และ j ตามตาราง, ft^2

F_{ij} คือ ค่าสัดส่วนของการแผ่รังสีความร้อนจากผนังชิ้นที่ i ที่ตั้งกระแทบบนผนังชิ้นที่ j หรือเรียกย่อๆ ว่า ค่า view factor

σ คือ ค่าคงที่ของ Stefan-Boltzmann

มีค่าเท่ากับ $0.1714 \times 10^{-8} Btu/(hr-ft^2 \cdot R^4)$

T_i, T_j คือ ค่าอุณหภูมิของผนังชิ้นที่ i และ j ตามตาราง, $^{\circ}R$

การคำนวณค่าการถ่ายเทความร้อนผ่านกรอบอาคารตามวิธีการของ Stephenson และ Mitalas [10] & [11] ที่ ASHRAE ใช้เป็นมาตรฐานในปัจจุบันนี้สามารถคำนวณได้จากสมการที่ 3.44 ซึ่งมีตัวอย่างเดียวกับสมการที่ 3.36 แต่จะอยู่ภายใต้สมนติฐานที่ว่า ค่าอุณหภูมิกระแสเปล่งของอากาศภายในห้องต้องมีค่าคงที่ค่าหนึ่งตลอด 24 ชั่วโมง และค่าสัมประสิทธิ์การพาความร้อนที่ผิวของวัสดุทั้งภายในออกและภายในกรอบอาคารมีค่าคงที่ ส่วนโปรแกรมประมาณค่าพลังงานในอาคารที่ใช้สมการที่ 3.44 ใน การคำนวณค่าการถ่ายเทความร้อนผ่านผนังทึบ ได้แก่ โปรแกรม BLAST [43] โปรแกรม TRACE 600 [44] และ โปรแกรม E20-II [45] เป็นต้น

$$q_{inside}(t) = A \cdot \left[\sum_{n=0} b_n (T_{e,t-n\delta}) - \sum_{n=1} d_n \left(\frac{q_{e,t-n\delta}}{A} \right) - T_{rc} \sum_{n=0} c_n \right] \quad (3.44)$$

เมื่อ $q_{inside}(t)$	คือ	ค่าการนำความร้อนผ่านผนังทึบหรือหลังค่าที่เวลา t , Btu/hr
t	คือ	เวลา, hr
δ	คือ	ช่วงเวลา (time step), hr
n	คือ	Summation index
$T_{e,t-n\delta}$	คือ	Solar-air temperature ที่เวลา $t-n\delta$, °F
T_{rc}	คือ	อุณหภูมิ平均temperature ของอากาศภายในห้อง, °F
b_n, c_n, d_n	คือ	สัมประสิทธิ์ Conduction transfer function ของกรอบอาคาร

วิธีการคำนวณค่าการถ่ายเทความร้อนผ่านผนังทึบของ Stephenson และ Mitalas จะมีส่วนคล้ายกับวิธีการคำนวณค่าการถ่ายเทความร้อนผ่านผนังทึบของโปรแกรม DOE-2 นั่นคือทั้งสองโปรแกรมต่างก็ใช้วิธี Transfer function และใช้ข้อมูลสภาพบรรยายภาพเป็นข้อมูลขาเข้าเหมือนกัน แต่ทั้งสองโปรแกรมจะมีส่วนต่างตรงที่วิธีของ Stephenson และ Mitalas เสนอให้คำนวณค่า Solar-air temperature จากข้อมูลสภาพบรรยายภาพ แต่โปรแกรม DOE-2 จะทำการคำนวณค่าอุณหภูมิผิวนอกสุดจากข้อมูลสภาพบรรยายภาพแทน

3.3 ค่าภาระการทำความเย็น (Cooling load)

ค่าภาระการทำความเย็น คือ ปริมาณของพลังงานความร้อนที่ต้องนำออกจากโถนต่อหนึ่งหน่วยเวลาเพื่อควบคุมให้ค่าอุณหภูมิการเปลี่ยนแปลงอันได้แก่ ความร้อนที่แห้งส่งกำเนิดความร้อนที่ซึ่งค่าภาระการทำความเย็นดังกล่าวจะแบ่งออกได้เป็น 2 ประเภท ได้แก่ ภาระการทำความเย็นแบบความร้อนสัมผัส (sensible heat gain) และ ภาระการทำความเย็นแบบความร้อนแฝง (latent heat gain)

ภาระการทำความเย็นแบบความร้อนสัมผัส หมายถึง ภาระการทำความเย็นที่เป็นความร้อนส่วนที่ทำให้อุณหภูมิอากาศในห้องเปลี่ยนแปลงอันได้แก่ ความร้อนที่แห้งส่งกำเนิดความร้อนที่อยู่ในบริเวณที่พิจารณาถ่ายเทให้กับอากาศด้วยการแผ่รังสีความร้อน แห้งส่งกำเนิดความร้อนเหล่านี้ได้แก่ กรอบของโถน หลอดไฟฟ้า ศูนย์ยาสีฟัน และ เครื่องใช้ไฟฟ้า เป็นต้น การคำนวณค่าภาระการทำความเย็นขึ้นกับ ประเภทของແผลงกำเนิดความร้อน มวลของกรอบโถน และความเร็วของอากาศภายในโถน โดยตั้งสมมติฐานว่าค่าภาระความร้อนจากแต่ละแหล่งแห้งส่งกำเนิดเป็นอิสระต่อกัน ดังนั้นค่าภาระการทำความเย็นรวมของบริเวณที่พิจารณาที่เวลาใดๆ จะมีค่าเท่ากับผลรวมของค่าภาระการทำความเย็นของแต่ละแหล่งกำเนิด ภาระการทำความเย็นแบบความร้อนแฝง คือ ภาระการทำความเย็นในส่วนที่ทำให้ความชื้นของอากาศในบริเวณที่พิจารณาเปลี่ยนแปลงไป

การคำนวณค่าภาระการทำความเย็นของบริเวณที่พิจารณาสามารถทำได้หากใช้วิธีด้วยกันตัวอย่างเช่น วิธี Energy balance วิธี Transfer function วิธี CLTD/SCL/CLF และ วิธี TETD/TA เป็นต้น สองวิธีแรกเป็นวิธีการคำนวณที่เหมาะสมสำหรับใช้สำหรับโปรแกรมคอมพิวเตอร์ ประมาณค่าพลังงานอาคารเนื่องจากใช้ระบบสมการที่ซับซ้อนแต่ให้ผลเฉลยที่น่าเชื่อถือได้ ส่วนสองวิธีหลังเป็นวิธีที่สามารถหาผลเฉลยได้โดยใช้เครื่องคำนวณเดาท์ไว้ แต่ความน่าเชื่อถือของผลเฉลยจะขึ้นกับสมมติฐานที่ตั้งไว้ ในที่นี้จะยกถ้าเฉพาะวิธี Transfer function และวิธี CLTD/SCL/CLF เท่านั้น

การคำนวณค่าภาระการทำความเย็นของใช้ด้วยวิธี Transfer function สามารถทำได้โดยใช้ค่าสัมประสิทธิ์ Room transfer function (RTF) ซึ่งขึ้นกับลักษณะของการถ่ายเทความร้อน และคุณสมบัติการกักเก็บความร้อนของบริเวณที่พิจารณา เป็นต้น ค่าสัมประสิทธิ์ RTF อาจมีที่มาได้ 2 แบบ คือ การประมาณค่าในช่วงหรือการประมาณค่าอกรช่วงของค่าสัมประสิทธิ์ Precalculated weighting factor ของ Stephenson และ Mitalas [10] & [11] หรืออาจมาจากการคำนวณโดยใช้ Custom weighting-factor method ของ Kerrisk [12] ตามที่ได้กล่าวถึงในบทที่ 2 ส่วนค่าภาระการทำความเย็นสามารถคำนวณได้จากสมการดังนี้

$$Q_t = \sum_{i=1}^{\infty} (v_0 \cdot q_i + v_1 \cdot q_{i-\delta} + v_2 \cdot q_{i-2\delta} + \dots) - (w_1 \cdot Q_{t-\delta} + w_2 \cdot Q_{t-2\delta} + \dots) \quad (3.45)$$

เมื่อ Q_t ก็คือ ค่าภาระการทำความเย็นที่เวลา t / ได.

i ก็คือ Summation index ซึ่งมีค่าเท่ากับจำนวนของแหล่งกำเนิดความร้อนที่พิจารณา

δ ก็คือ ช่วงเวลา (Time step); 1 hr

v_i, w_i ก็คือ ค่าสัมประสิทธิ์ Room transfer function

สมการที่ 3.44 จะพิจารณาความหน่วง (time lag) ของการนำความร้อนผ่านผนังเนื่องจาก การสะสมความร้อนภายในผนัง ส่วนสมการที่ 3.45 จะพิจารณาความหน่วงของภาระการทำความเย็นเนื่องจากกระแสความร้อนภายในกรอบใช้แทนเครื่องคิดแต่งห้อง

3.4 วิธีการคำนวณค่าสัมประสิทธิ์ Cooling Load Temperature Difference

วิธี CLTD/SCL/CLF เป็นวิธีการคำนวณค่าภาระการทำความเย็นของแหล่งกำเนิดความร้อนแบบต่างๆ ในขั้นตอนเดียว โดยใช้ค่าสัมประสิทธิ์จำนวน 3 แบบ ในการคำนวณค่าภาระการทำความเย็นของแหล่งกำเนิดความร้อนแต่ละแบบภายในบริเวณที่พิจารณาดังนี้ ค่าสัมประสิทธิ์ CLTD ใช้สำหรับคำนวณค่าภาระการทำความเย็นของการนำความร้อนผ่านเพดาน ผนังทึบ และกระชาก ค่าสัมประสิทธิ์ SCL ใช้สำหรับคำนวณค่าภาระการทำความเย็นของการแผ่รังสีความร้อนผ่านกระชาก และ ค่าสัมประสิทธิ์ CLF ใช้สำหรับคำนวณค่าภาระการทำความเย็นของแหล่งกำเนิดความร้อนภายในของบริเวณที่พิจารณา แหล่งความร้อนภายในต้องถูกตัวได้แก่ หลอดไฟฟ้า ผู้อยู่อาศัย และเครื่องใช้ไฟฟ้า เป็นต้น ในงานวิจัยนี้จะขอถูกตัวเฉพาะค่าสัมประสิทธิ์ CLTD ที่อยู่ในขอบเขตงานวิจัยเท่านั้น

รูปแบบของสมการเพื่อใช้ในการคำนวณค่าภาระการทำความเย็นของการนำความร้อนจะถูกเขียนในลักษณะของสมการการถ่ายเทควันร้อนสภาวะคงตัวตามสมการที่ 3.46 ซึ่งค่าสัมประสิทธิ์ CLTD หาได้จากตารางที่ 30 และ 32 บทที่ 26 ของ ASHRAE [1] หรือ คำนวณจากโปรแกรม CLTDTAB ของ McQuiston [34]

$$Q = U \cdot A \cdot CLTD \quad (3.46)$$

การคำนวณค่าสัมประสิทธิ์ CLTD สามารถกระทำได้โดยใช้โปรแกรมคอมพิวเตอร์ที่ใช้ในการประมาณค่าพลังงานอาการนำความร้อนค่าภาระการทำความเย็นรายชั่วโมง (Q) ก่อน แล้วนำค่าดังกล่าวมาหารด้วยค่าสัมประสิทธิ์ถ่ายเทควันร้อนรวม (U) และพื้นที่ผิวของผนัง (A) จะได้ผลลัพธ์เป็นค่าสัมประสิทธิ์ CLTD หรือ ค่าผลต่างอุณหภูมิที่เทียบเท่าค่าภาระการทำความเย็น โดยค่าสัมประสิทธิ์ CLTD ที่คำนวณได้นี้จะอยู่ภายใต้สมมติฐานของข้อมูลข้ามของโปรแกรมคอมพิวเตอร์ที่ประมาณค่าพลังงานอาการที่ถูกนำมาใช้คำนวณค่าภาระการทำความเย็นรายชั่วโมง (Q) ยกตัวอย่างเช่น ค่าสัมประสิทธิ์ CLTD ที่ระบุในตารางที่ 30 และ 32 ที่ถูกพัฒนาโดย McQuiston [34] ที่ ASHRAE ให้เป็นมาตรฐานในปัจจุบัน จะมีสมมติฐานดังต่อไปนี้

1. กำหนดให้ค่า Solar-air temperature ของข้อมูลข้ามที่เป็นไปตามที่กำหนด ตัวอย่าง เช่น ค่า Solar-air temperature ที่แสดงไว้ในตารางที่ 3.2 โดยค่าดังกล่าวเป็นข้อมูลของวันที่ท้องฟ้าไปร่วงที่ ละติจูด 24, 36 และ 48 °N วันที่ 21 กรกฎาคม
2. กำหนดให้ค่าของอุณหภูมิอากาศภายในห้องเป็นค่าคงที่เท่ากับ 78 °F.

3. กำหนดให้ค่าของอุณหภูมิอากาศภายนอกห้องมีค่าสูงสุดเท่ากับ 95°F มีค่าเฉลี่ยตลอดวันเท่ากับ 85°F และมีค่าความแตกต่างระหว่างค่าสูงสุดและค่าต่ำสุดในหนึ่งวันเท่ากับ 21°F
4. กำหนดให้ค่าสัมประสิทธิ์การพาความร้อนของพื้นอากาศภายนอกเท่ากับ $3.0 \text{ hr-ft}^2 \cdot ^{\circ}\text{F/Btu}$ และค่าสัมประสิทธิ์การพาความร้อนของพื้นอากาศภายในเท่ากับ $1.43 \text{ hr-ft}^2 \cdot ^{\circ}\text{F/Btu}$
5. กำหนดให้เครื่องปรับอากาศถูกใช้งานตลอด 24 ชั่วโมงต่อวัน ติดต่อกัน 7 วันต่อสัปดาห์
6. พนังมีสีดำหรือสีเข้ม
7. ไม่มี exterior shading ภายในบริเวณที่พิจารณา
8. Ground reflectance มีค่าเท่ากับ 0.20
9. ห้องพื้นแบบ clear sky ที่มีค่า clearness number เท่ากับ 1.0
10. พื้นอากาศภายในห้องสมนติให้เป็นอากาศที่อยู่นิ่ง (still air)

จะหากต้องการคำนวณหาค่าการระบายความเย็นที่มีเงื่อนไขแตกต่างจากข้อกำหนดข้างต้น McQuiston [34] ได้เสนอวิธีการประมาณค่าในช่วงหรือการประมาณค่าในอุณหภูมิของห้องที่สามารถปรับแก้ได้เพียงแต่ ค่าอุณหภูมิอากาศภายในห้อง และค่าเฉลี่ยของอุณหภูมิกระแสแห่งภายนอกห้อง เท่านั้น ในกรณีที่ต้องการคำนวณประสิทธิ์ CLTD ของเดือนอื่นแต่/หรือที่ละติจูดอื่น นอกเหนือจากค่าที่กำหนด จำเป็นต้องใช้โปรแกรมคอมพิวเตอร์ CLTDTAB ของ Falconer และ Sowell [38] เพื่อคำนวณค่าสัมประสิทธิ์ CLTD เหล่านี้ หรืออาจใช้วิธีการปรับแก้ค่าสัมประสิทธิ์ CLTD สำหรับเดือน ละติจูด และสีอื่นๆ นอกเหนือจากค่าที่กำหนด จากสมการตรวจแก้ค่าสัมประสิทธิ์ CLTD ของ ASHRAE Handbook of fundamental ปี ก.ศ. 1981 [47] ซึ่งเป็นผลงานวิจัยของ Rudoy [26] ดังนี้

$$\text{Corr. CLTD} = (\text{CLTD} + LM) \cdot K_c + (78 - T_{rc}) + (T_m - 85) \quad (3.47)$$

เมื่อ Corr. CLTD คือ ค่าสัมประสิทธิ์ CLTD ที่ปรับแก้แล้ว

CLTD คือ ค่าสัมประสิทธิ์ CLTD จากตารางที่ 7 [47]

LM คือ ค่าตรวจแก้ของเดือนและละติจูด จากตารางที่ 9 [47]

K_c	คือ ตัวตรวจสอบเก็งของสี [47] ซึ่งมีค่าดังนี้
$K_c = 1$	สำหรับสีดำหรือสีขาวในเขตอุตสาหกรรม
$K_c = 0.83$	สำหรับสีเข้มปานกลาง (เขตชนบท)
$K_c = 0.65$	สำหรับสีอ่อน (เขตชนบท)
T_{rc}	คือ ค่าอุณหภูมิอากาศภายในห้อง
T_m	ค่าสูงสุดของอุณหภูมิอากาศภายนอกของอาคาร - (ผลต่างของอุณหภูมิสูงสุดและต่ำสุดระหว่างวัน)/2

จากสมการที่ 3.46 และ 3.47 พบว่า วิธีนี้เป็นวิธีที่สามารถคำนวณค่าภาวะการทำความเย็นได้ด้วยกรีองคำนวณเก็บหัวไว้ ซึ่งทำให้มีความสะดวกในการใช้งาน แต่วิธีนี้ยังมีข้อจำกัดกพร่องตรงที่ขาดความยืดหยุ่นเมื่อนำมาใช้ในงานนอกขอบเขตที่ได้ระบุไว้ ด้วยย่าง เช่น ค่าสัมประสิทธิ์ CLTD จากตารางของ ASHRAE [1] หรือ McQuiston [34] จะจัดทำเฉพาะวัสดุใช้แพร่ท่อภายในประเทศของผู้เสนอมาตรฐาน รวมทั้งวัสดุเหล่านั้นจะต้องอยู่ในสภาพแวดล้อมที่เจาะจง เช่น ค่า Solar-air temperature ของละติจูดที่ 40°N ซึ่งเป็นค่าตัวแทนของข้อมูลสภาพบรรยายกาศ (ค่าอุณหภูมิของอากาศภายในบ้าน ก่ารังสีร้อนที่ตกกระทบผนัง ก่าความเร็วลม ก่าการคุณภาพรังสีของผนัง และค่า view factor ของผนัง เป็นต้น) ต้องมีค่าตามตารางที่ 3.2 และ ผลเฉลยจะใช้งานได้ถ้าที่ละติจูดและกองจิจูดที่ระบุไว้เท่านั้น ด้านนี้ค่า CLTD ดังกล่าวไม่ประยุกต์ใช้กับวัสดุชนิดอื่น หรือใช้กับประเทศที่ต้องอยู่ในละติจูดและกองจิจูดที่อยู่นอกเหนือจากค่าที่สามมิติไว้ก็อาจต้องผิดให้การคำนวณเกิดความคลาดเคลื่อนได้ ถึงแม้ว่าจะมีการปรับแก้โดยด้วยตรวจสอบแก้ที่แนะนำโดย ASHRAE ก็ตาม

จากเหตุผลที่ได้กล่าวไว้ในข้อด้านจะพบว่า การประมาณค่าภาระการทำความเย็นด้วยสัมประสิทธิ์ CLTD ตามตารางของ ASHRAE จะให้ผลเฉลยที่มีความน่าเชื่อถือก็ต่อเมื่อสภาพแวดล้อมแก่ภูมิภาคของอาคารอยู่ภายใต้สมมติฐานที่กำหนดไว้

ตารางที่ 3.2 ค่า Solar air temperature ของวันที่ 21 กรกฎาคม สำหรับระดับดูดที่ 40 องศาเหนือ

เวลา	To	N	NE	E	SE	S	SW	W	NW	HORIZON
1	76	76	76	76	76	76	76	76	76	69
2	76	76	76	76	76	76	76	76	76	69
3	75	75	75	75	75	75	75	75	75	68
4	74	74	74	74	74	74	74	74	74	67
5	74	74	74	74	74	74	74	74	74	67
6	74	80	93	95	84	76	76	76	76	72
7	75	80	99	106	94	78	78	78	78	81
8	77	81	99	109	101	82	81	81	81	92
9	80	85	96	109	106	88	85	85	85	102
10	83	88	91	105	107	95	88	88	88	111
11	87	93	93	99	106	102	93	93	93	118
12	90	96	96	96	102	106	102	96	96	122
13	93	99	99	99	99	108	112	105	99	124
14	94	99	99	99	99	106	118	116	102	122
15	95	100	100	100	100	103	121	124	111	117
16	94	98	98	98	98	99	118	126	116	109
17	93	98	96	96	96	96	112	124	117	99
18	91	97	93	93	93	93	101	112	110	89
19	87	87	87	87	87	87	87	87	87	80
20	85	85	85	85	85	85	85	85	85	78
21	83	83	83	83	83	83	83	83	83	76
22	81	81	81	81	81	81	81	81	81	74
23	79	79	79	79	79	79	79	79	79	72
24	77	77	77	77	77	77	77	77	77	70

(ก) สำหรับผนังพิลาสติก $\alpha/h_o = 0.15$

เวลา	To	N	NE	E	SE	S	SW	W	NW	HORIZON
1	76	76	76	76	76	76	76	76	76	69
2	76	76	76	76	76	76	76	76	76	69
3	75	75	75	75	75	75	75	75	75	68
4	74	74	74	74	74	74	74	74	74	67
5	74	74	75	75	74	74	74	74	74	67
6	74	85	112	115	94	77	77	77	77	77
7	75	84	124	136	113	81	81	81	81	94
8	77	85	121	142	125	86	85	85	85	114
9	80	90	112	138	131	96	89	89	89	131
10	83	84	100	127	131	107	94	94	94	145
11	87	98	99	111	125	118	100	98	98	156
12	90	101	101	102	114	123	114	102	101	162
13	93	104	104	104	106	124	131	117	105	162
14	94	105	105	105	105	118	142	138	111	156
15	95	105	104	104	104	111	146	153	127	146
16	94	102	102	102	102	103	142	159	138	131
17	93	102	99	99	99	99	131	154	142	112
18	91	102	94	94	94	94	111	132	129	94
19	87	87	87	87	87	87	87	88	88	80
20	85	85	85	85	85	85	85	85	85	78
21	83	83	83	83	83	83	83	83	83	76
22	81	81	81	81	81	81	81	81	81	74
23	79	79	79	79	79	79	79	79	79	72
24	77	77	77	77	77	77	77	77	77	70

(ข) สำหรับผนังพิลาสติก $\alpha/h_o = 0.30$